

**Michel Klüger e Cecilia Chirenti**

Centro de Matemática, Computação e Cognição, Universidade Federal do ABC  
Av. dos Estados, 5001, Santo André, SP  
{michel.kluger,cecilia.chirenti}@ufabc.edu.br

**Resumo:** Neste trabalho modelamos computacionalmente a atração gravitacional, fazendo uma comparação dos modelos de gravitação de Newton e da relatividade geral de Einstein, através da integração das equações de movimento para os dois casos.

## Introdução:

No contexto da gravitação, temos dois modelos distintos baseados em princípios teóricos diferentes, que fornecem previsões desejadas e corretas para apropriação do mundo pelo homem.

Isaac Newton, ao formular a sua lei da gravitação universal, podia quantificar as forças de interação gravitacional entre corpos celestes. Em 1915, Albert Einstein muda com a relatividade geral o âmbito da questão, da força para o campo, um corpo com massa gera uma curvatura do espaço-tempo. Uma diferença marcante desses modelos é o intervalo de tempo para a ação da gravidade, para Newton é instantâneo ( $\Delta t = 0$ ) e para Einstein é transmitido com a velocidade da luz, e portanto  $\Delta t = \frac{\Delta s}{c}$  que é pequeno mas não nulo. E é transmitida coincidentemente com o encurvar do espaço.

Segundo a gravitação universal de Newton, um corpo exerce sobre um outro uma força que é proporcional ao inverso do quadrado da distância, e a aceleração é dada pela formula:

$$\vec{a} = -\frac{GM}{r^2}. \quad (1)$$

Para Einstein um corpo que possui uma massa curva o espaço ao seu redor:

$$\kappa = 16 \cdot G\pi c^{-2} \rho. \quad (2)$$

Com correções relativísticas, a equação da aceleração fica:

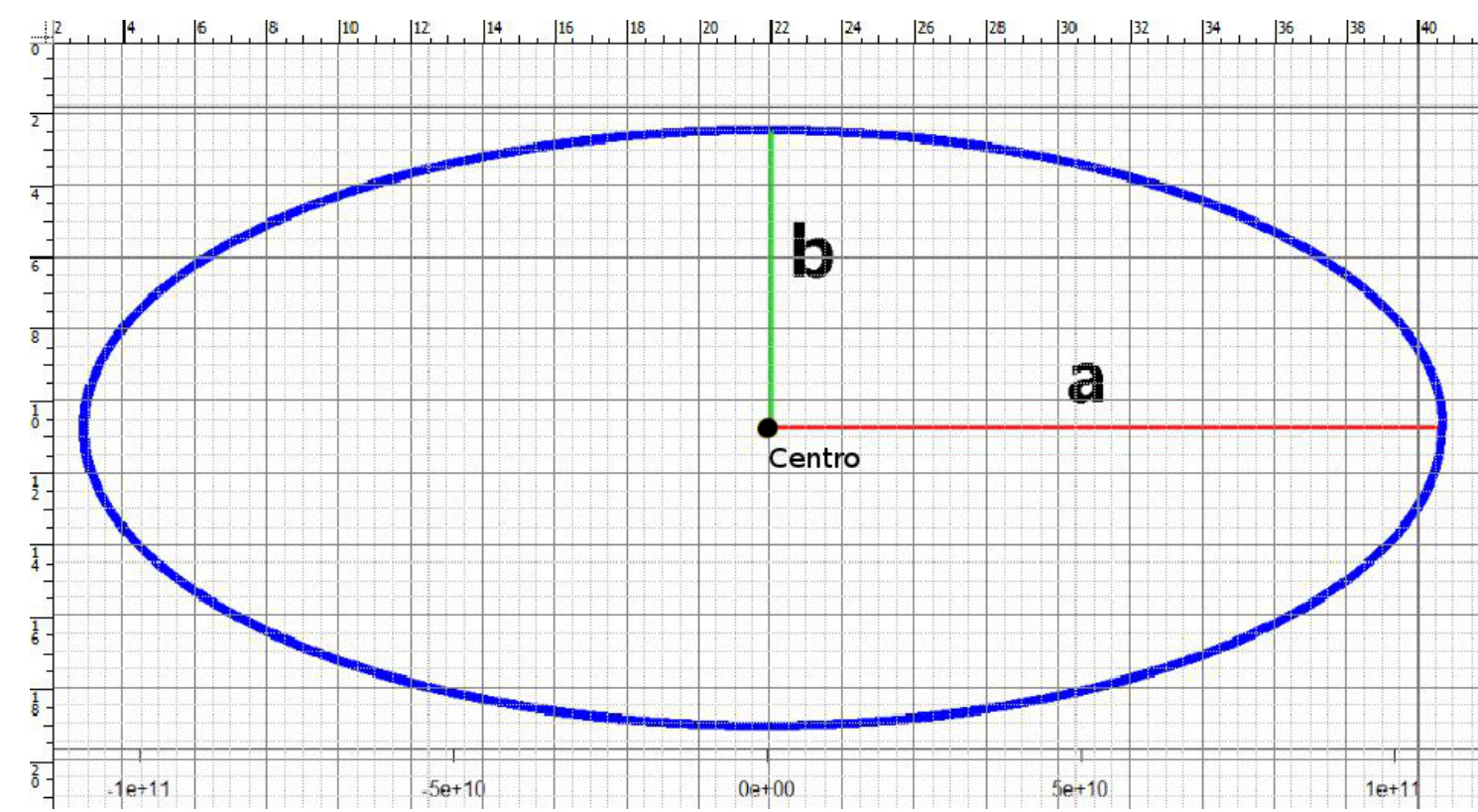
$$\vec{a}_{rel} = \frac{GM}{r^2} \left( 1 + \frac{12k^2}{c^2 r^2} \right) \quad (3)$$

Uma consideração importante é que nessa configuração a constante de kepler  $K$  é expressa por  $\frac{rv}{2}$ .

Os resultados apresentados a seguir foram obtidos com os programas Orbit e RelativisticOrbit.

## Verificação da primeira lei de kepler

A elipse obedece à equação  $\frac{x^2}{a^2} + \frac{y^2}{b^2} = 1$ , e da figura 1 temos  $A = 1.13 \times 10^{11}/m$  e  $B = 5.0 \times 10^{10}/m$  para a órbita de mercúrio.



**Figura 1:** Órbita de mercúrio plotada sobre escala milimetrada. (Apesar da excentricidade parecer grande na escala utilizada, ela vale 0.206.)

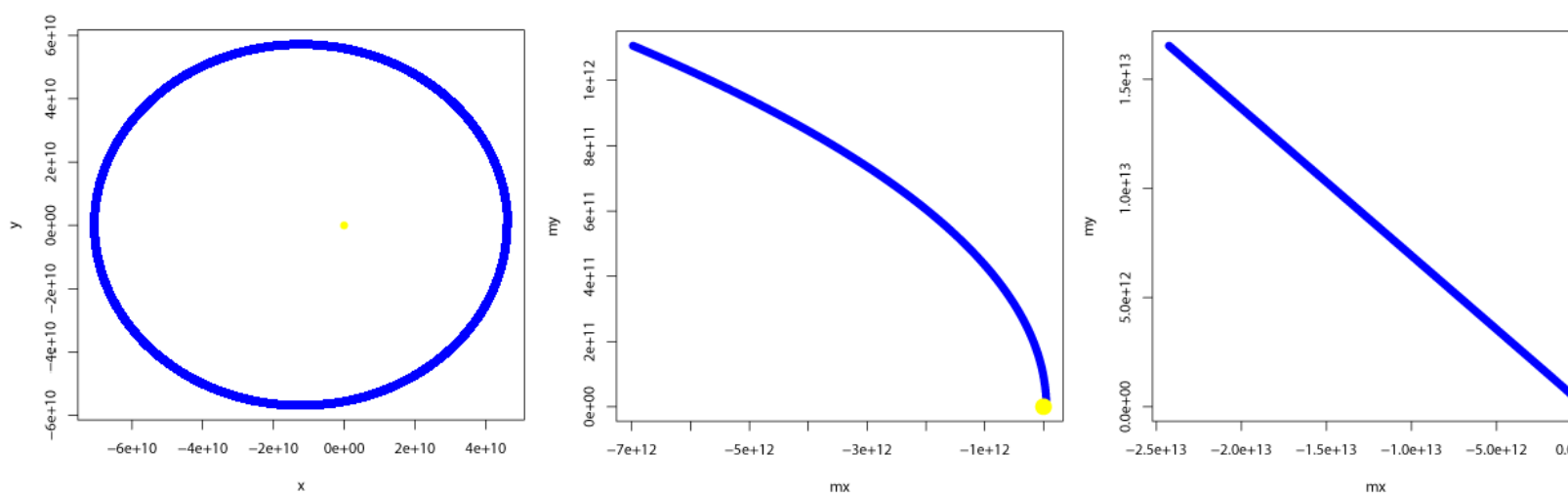
## Tipos de órbitas

A energia total  $E_t$  é a soma das energias cinética e potencial:

$$E_t = \frac{mv^2}{2} - \frac{MGm}{r}. \quad (4)$$

Fixando  $r = R$  para uma dada posição inicial, encontramos um valor de  $v_0$  para o qual a energia total é nula  $E_t = 0$ . Para esse valor de  $v_0$  obtemos uma órbita parabólica, acima desse valor a órbita é hiperbólica ( $E_t > 0$ ), abaixo dele a órbita é elíptica ( $E_t < 0$ ). Os tipos de órbita podem ser vistos na figura 2.

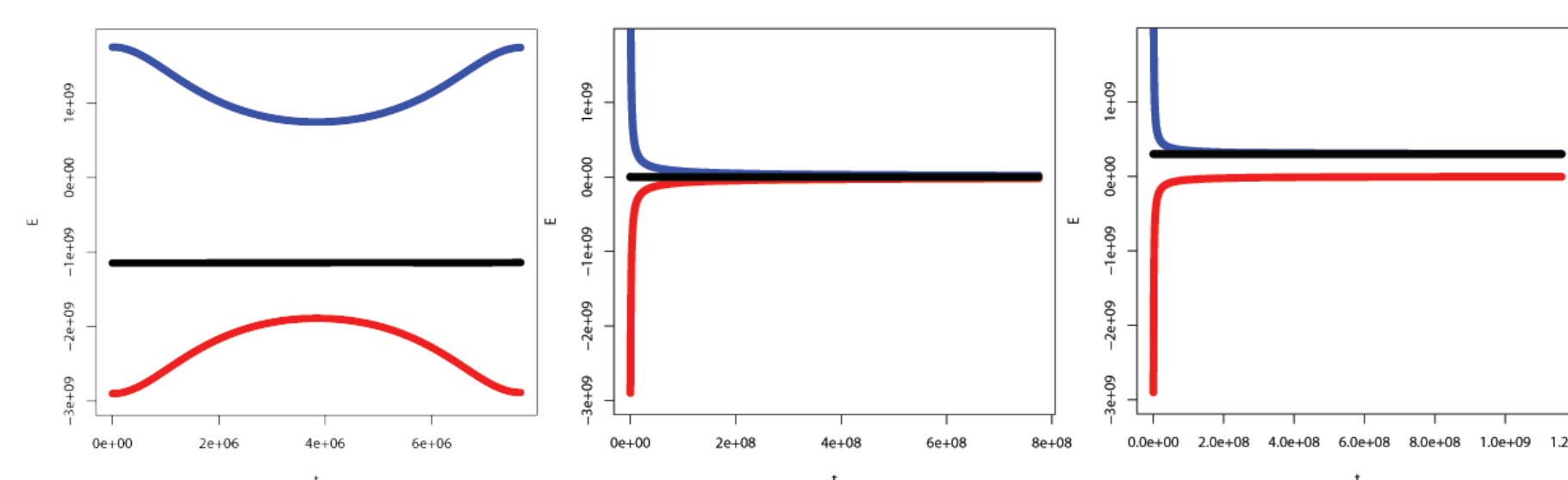
Tomando  $R = 46 \times 10^9 m$  da órbita de mercúrio, obtemos como velocidade inicial para um órbita parabólica  $v_0 = 76157.73105 m/s$ .



**Figura 2:** Da esquerda para a direita: órbita elíptica, parabólica e hiperbólica.

## Conservação de energia

Conforme visto na seção anterior, a energia total das órbitas é conservada. A figura 3 mostra as energias potencial, cinética e total ao longo de uma órbita.



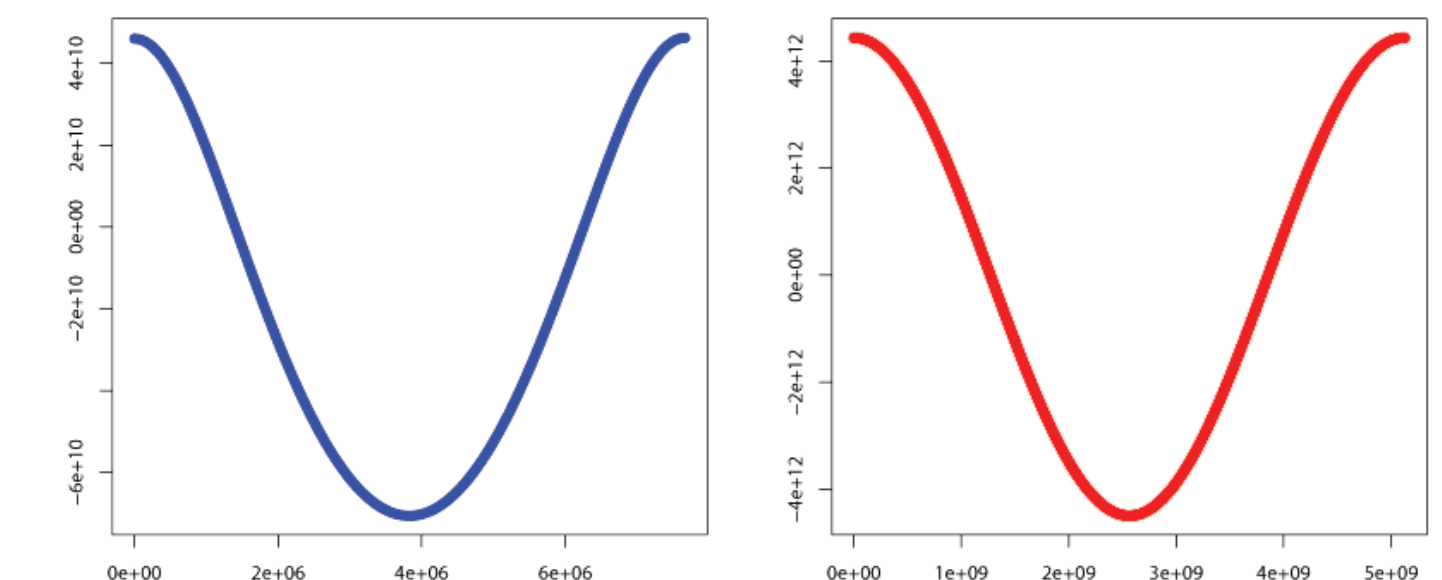
**Figura 3:** Vermelho: energia potencial gravitacional, azul: energia cinética e preto: energia total. Da esquerda para a direita: órbita elíptica, parabólica e hiperbólica

## Lei dos Periodos

Segundo a terceira lei de Kepler, o quadrado do período de um corpo orbitante é proporcional ao cubo do eixo maior de sua órbita:

$$\frac{T_1^2}{r_1^3} = \frac{T_2^2}{r_2^3} = \frac{4\pi^2}{MG}. \quad (5)$$

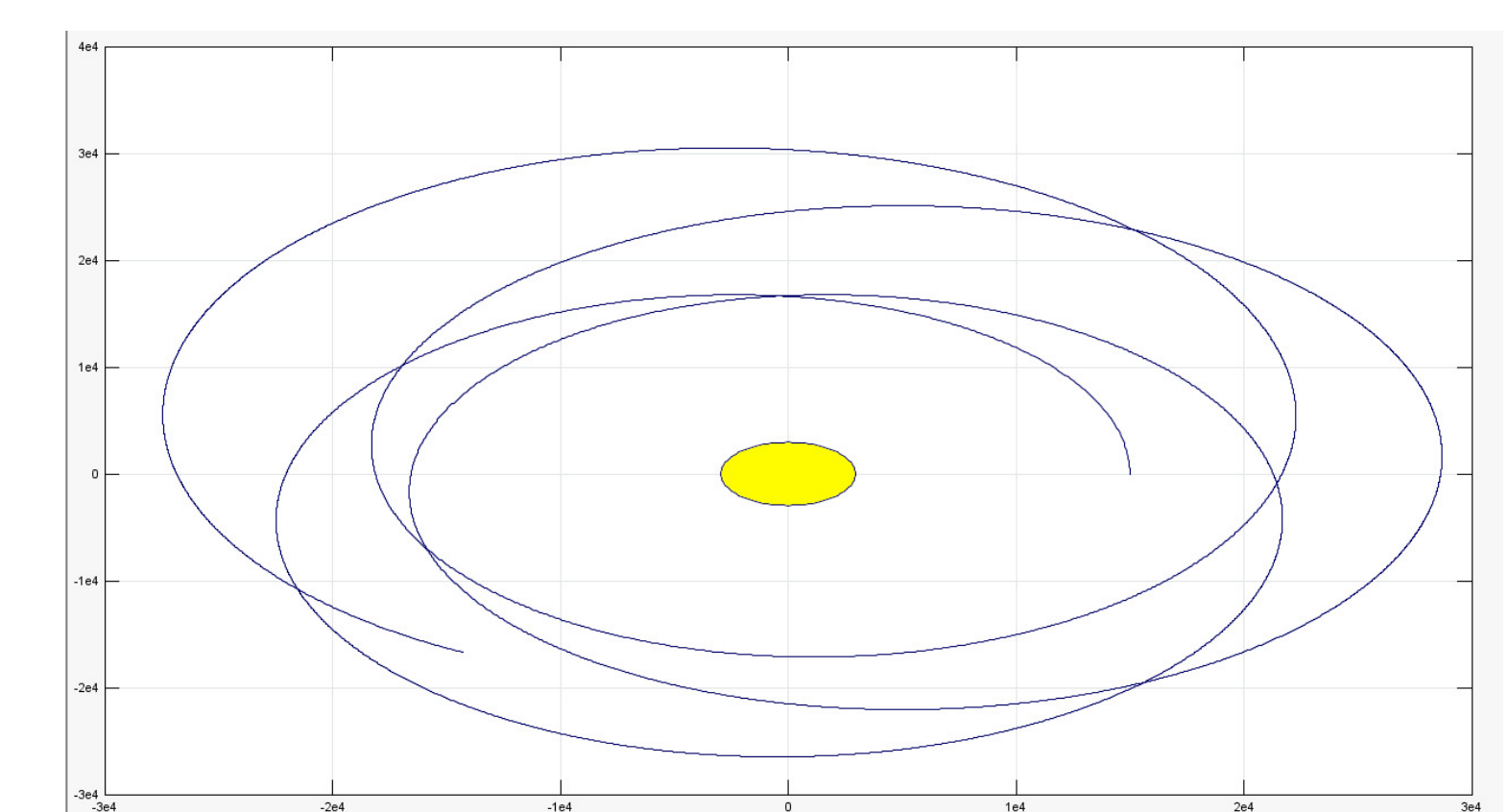
Da figura 4 e dos dados gerados temos  $T_1 = 7.6 \times 10^6 s$  para mercúrio e  $T_2 = 5.19 \times 10^9 s$  para netuno. Todos os resultados estão entre  $2.9e-19$  e  $3.1e-19$ , mostrando que conseguimos demonstrar a terceira lei de Kepler com precisão de aproximadamente 5%.



**Figura 4:** Azul: período de mercúrio, vermelho: período de netuno.

## RelativisticOrbit

O programa RelativisticOrbit, diferentemente do Orbit, não foi traduzido para C++. Apenas para poder comparar os modelos, rodamos o programa direto de seu ambiente nativo o  **triana**  (Java). Devido às correções relativísticas, a órbita não é mais fechada, observamos a precessão do periélio e o sistema perde energia via emissão de ondas gravitacionais, como pode ser visto na figura 5.



**Figura 5:** Órbita de mercúrio com correções relativísticas.

## Conclusão

Concluímos que órbitas obtidas dentro da teoria de Newton podem ser hiperbólicas, parabólicas ou elípticas. As órbitas mantêm a sua energia total constante, por se tratar de um sistema fechado. Verificamos que as órbitas planetárias são elípticas, conforme enunciado na primeira lei de Kepler, e também foi possível verificar numericamente a terceira lei de Kepler. As órbitas relativísticas não são fechadas e não conservam energia.